

建設省東北地方建設局
建設省北上川下流工事事務所
日本技術開発株式会社

正員 斎藤賢一
正員 大宮忠雄
正員 〇松井謙二

1. はじめに 山岳部や河谷部にみられるように比較的浅いところに堅固な支持層があり、その支持層が急峻な勾配を有する場合、そこに設置される構造物のくい基礎はそれぞれ果った長さのくいにより構成される。ここに紹介する南沢川水門もこの例に属するがさらにその地質状況によりフーチングの一部が直接基礎となり、同一フーチング内にくい基礎と直接基礎が混在するいわゆる複合基礎型式となった。南沢川水門の設計ではこの構造系を反映しうる解析モデルを作成し、このモデルに基づき複合基礎の変位、応力について検討した。この結果構造物の地震時における安全性を高めることができた。ここではこれらの検討内容を報告し、このような状況下に構造物を計画する際の参考に供したい。

2. 南沢川水門の概要

南沢川水門は宮城県登米郡梁川町柳澤地内の新北上川と南沢川の合流点付近の高水敷に位置し、洪水時の北上川からの逆流防止を目的に老朽化した水門に隣接して新たに建設されるものである。

2.1 地質状況

当地区は古く北上川本流により河谷が形成され、そこに粘性土を主体とする土砂により次第に埋積されて現在に至ったものである。こうした埋積環境を反映して河谷部は急峻な地形を示し基礎岩である堅硬な中生代三畳紀の箱井層（砂岩、岩盤の変形係数 $E = 5000 \text{ kg/cm}^2$ 、粘着力 $C = 35 \text{ kg/cm}^2$ 、内部摩擦角 $\phi = 35$ 度）が約40度の急傾斜で深く河床に入り込んでいる。この基礎岩の上部1~3mは構造運動により破壊されて破砕岩となっている。基礎岩の上位は沖積世堆積物が北上川に近き程度厚さを増して堆積しており、そのほとんどが粘土~粘土質細砂~中砂（ N 値=5~25、 k 値= 0.8 kg/cm^2 ）から成り基礎岩に近くなるほど礫および軽石混りとなっている。

2.2 基礎構造

南沢川水門はゲート2内、3堰体より構成される総延長64mの可動堰である。このうち山側の1号堰が今回の検討の対象であり、その概要を図-1に示す。この1号堰付近の岩盤は平面的にみて堰軸方向にほぼ45°の方向に $KP=5m \sim 15m$ に傾斜している。このため基礎岩を支持層とするくい基礎は口々に長さが異なる不等長ぐいとなり、しかもほとんどのぐいがその変形特性より短ぐいに分類される。またフーチングの一部は傾斜岩盤が露出するため直接基礎となり1号堰基礎全体としては複合基礎となる。くい型式は地質条件、施工性および経済性を比較検討の上、場所打ちぐい（ $\phi 1.5m$ ）とした。

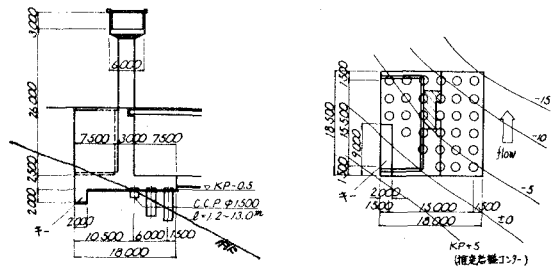
3. 複合基礎の検討

支持岩盤も含めた基礎構造系の「解析モデルの検討」と安定計算結果による「複合基礎の変位、応力の検討」に分けて説明する。図-2に主要な検討内容を示す。

3.1 解析モデル

①手法 この基礎構造の特長は平面的にはくい基礎と直接基礎の混在、また深さ方向には各くい長が異なることにある。このように本来的に展開する構造系をここでは次の手法により平面骨組構造（図-5 参照）

図-1 1号堰の概要図



定数は着しく大きくなる。ii) III, IVはLに比例して漸増する。iii) $(L \text{長} \geq 9^m)$ では、L先端の境界条件に無関係となる。おおよびii)はIII, IVと同様の傾向を示すがLの値は小さいことがわかる。また、L1頭に単位水平力 H^* が作用した場合のL1頭拘束モーメントおおよびL先端の水平応力を図-4(b), (c)に示す。

④直接基礎の取扱い 直接基礎は岩盤のセシ断剛性により荷重を負担するから、その剛性と異なるL1頭を想定する。この仮想L1頭のバネ定数 $K_H(\%)$ は道路橋指針³⁾より、下記の順で求める。

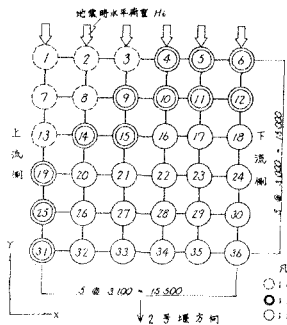
$$K_V, K_S = f(E, A) \rightarrow K'_S = K_S \cdot A \rightarrow K_H = K'_S / n$$

ここで $K_V, K_S(\%)$; 鉛直、セシ断地盤反力係数 (EはL $K_S = \frac{K_V}{3.5}$), $K'_S(\%)$; 直接基礎のセシ断バネ定数, n(N); 仮想L1頭定数

⑤解析モデルの諸元と計算 以上の検討より図-5, 表-1に示す解析モデルを作成し、2次元複合基礎の変位、応力の検討を行う。計算は変形法理論により電算計算機 TOSBAC-5600を用いて行った。

図-5 解析モデル

表-1 モデル諸元①



橋脚数	36
部材数	60
断面ケース	1 (複合基礎地盤部)
部材	E = $2.7 \cdot 10^4 \text{ kg/cm}^2$
材	I _x = 4.036 m^4
	I _y = 3.906 m^4
荷重	全水平荷重 $2.4 = 3.21 \cdot 0.7$
	橋脚重量 $14.6 = 5.36 \cdot 2.7$
バネ定数	L長 = 0.5^m として選定法にて選定
備考	表-2 モデル諸元② 参照

3.2 複合基礎の変位、応力

①フーチングの変位 各橋脚のX方向おおよびY方向の水平変位 δ_x, δ_y を表-2①に示す。この結果図-6に示すようにフーチングは全体的に2号堰方向に移動し、かつ直接基礎部分を中心に時計回りに回転していることがわかる。これは直接基礎に比べL1頭のバネ定数が相対的に小さいことによるが、その変形の程度は小さく構造物の規模および重要性に合わせた許容変位量以下にあるといえる。

表-2 解析モデルの諸元と結果

橋脚番号	橋脚形状	モデル諸元①		計算結果①		計算結果②		記号の説明
		橋脚長さ (m)	橋脚幅 (m)	水平変位 (mm)	鉛直変位 (mm)	水平変位 (mm)	鉛直変位 (mm)	
1	直	38.0	—	-0.37	0.0	28.9	—	注の欄 ●: 直接基礎 (6本) ○: 橋脚 (30本) ○: 橋脚拘束 (10本) 選定法による基準値 $K_H = 1.31 \text{ (2号堰側)}$ $K_H = 1.11 \text{ (1号堰側)}$ 単位: 水平力 $1^2 = 0.0^2 \text{ (90度)}$ 鉛直変位 $1^2 = 0.0^2 \text{ (90度)}$ 鉛直変位 $1^2 = 0.0^2 \text{ (90度)}$
2	直	38.0	—	-0.36	0.0	28.1	—	
3	直	38.0	—	-0.36	0.0	28.1	—	
4	直	38.0	—	-0.36	0.0	28.1	—	
5	直	38.0	—	-0.36	0.0	28.1	—	
6	直	38.0	—	-0.36	0.0	28.1	—	
7	直	38.0	—	-0.36	0.0	28.1	—	
8	直	38.0	—	-0.36	0.0	28.1	—	
9	直	38.0	—	-0.36	0.0	28.1	—	
10	直	38.0	—	-0.36	0.0	28.1	—	
11	直	38.0	—	-0.36	0.0	28.1	—	
12	直	38.0	—	-0.36	0.0	28.1	—	
13	直	38.0	—	-0.36	0.0	28.1	—	
14	直	38.0	—	-0.36	0.0	28.1	—	
15	直	38.0	—	-0.36	0.0	28.1	—	
16	直	38.0	—	-0.36	0.0	28.1	—	
17	直	38.0	—	-0.36	0.0	28.1	—	
18	直	38.0	—	-0.36	0.0	28.1	—	
19	直	38.0	—	-0.36	0.0	28.1	—	
20	直	38.0	—	-0.36	0.0	28.1	—	
21	直	38.0	—	-0.36	0.0	28.1	—	
22	直	38.0	—	-0.36	0.0	28.1	—	
23	直	38.0	—	-0.36	0.0	28.1	—	
24	直	38.0	—	-0.36	0.0	28.1	—	
25	直	38.0	—	-0.36	0.0	28.1	—	
26	直	38.0	—	-0.36	0.0	28.1	—	
27	直	38.0	—	-0.36	0.0	28.1	—	
28	直	38.0	—	-0.36	0.0	28.1	—	
29	直	38.0	—	-0.36	0.0	28.1	—	
30	直	38.0	—	-0.36	0.0	28.1	—	
31	直	38.0	—	-0.36	0.0	28.1	—	
32	直	38.0	—	-0.36	0.0	28.1	—	
33	直	38.0	—	-0.36	0.0	28.1	—	
34	直	38.0	—	-0.36	0.0	28.1	—	
35	直	38.0	—	-0.36	0.0	28.1	—	
36	直	38.0	—	-0.36	0.0	28.1	—	

$$H_u = (C \cdot A_1 + V_1 \cdot \tan \phi) + V_2 \cdot \tan \phi$$

$$= (35 \times 0.9 \cdot 0 + 91.3 \times 0.6) + 46.2 \times 0.6$$

$$= 275.0^+$$

$$\therefore F_s = H_u / \Sigma H_0 = \frac{275.0}{2014} = 1.37 > F_{s0} = 1.2$$

③L1頭体の検討 <L1長が 9^m 以下のL1は全てL1頭ヒンジとし、かつ 9^m 以上でも回転による変位が大きくなる(例之はL1番号⑩)は応力集中がおこるのでヒンジ構造とした。この結果、L1は全てL1頭部はヒンジ構造となり、これらはL1ヒンジ型に両端化した。また、L1頭部のL1頭拘束モーメント M_0 (表-2②参照)は式(4)に示すように抵抗モーメント M_r 以下にある。

図-6 (→) フーチングの変形応力



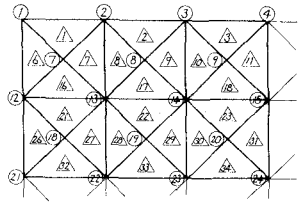
$$M_{0max} = 337 \text{ t} \cdot \text{m} \quad (\text{い番号 } 20, 24, 23) < M_r = 370 \text{ t} \cdot \text{m} \quad (N = 300 \text{ t のとき}) \quad \text{-----式(4)}$$

ニに くい頭の筋筋; $H_s = D32-60^\circ$ (2段) (cf c125) = 477 cm^2 , $\sigma_{sa} = 2700 \text{ kg/cm}^2$, $\sigma_{ca} = 120 \text{ kg/cm}^2$, $n = 15$

④ くい支持力の検討 前記した地質状況により くい傾斜岩盤上の支持力問題おびくい先端の水平滑動の検討を要する。前者は高直路調査会の提案式^(注)によりその安定性を確認した。後者については一般に くい長が短い場合、その くいは剛体的挙動を示し くい頭に作用する水平応力の大部分は花巻に伝達される(表-2②参照)。この先端応力即ち滑動に対しての抵抗力は くい底面における土工の抵抗と支持岩盤の くい根入部におけるシエア・ボ 抵抗の和として計算した結果、滑動安全率 $F_s = 1.8 > F_{sa} = 1.2$ を得た。

⑤ フーチング本体の応力差の検討 本来平板構造である フーチングを平面骨組構造に置換してその変位おび各 くい荷重分担割合を求めるとは フーチングの剛性が大きいことより厳密解と大差はないが、實際的検討に用いるには無理がある。そこで応力集中が考えられる直接基礎周辺の応力照査を F.E.M. 解析を行った。フーチングのポアソン比は $\nu = 0.15$ とし、その他の条件は 3.1⑤ と同一とした。図-7 にモデル、表-3 に計算結果の一部を示す。この結果、要素番号 1, 2, 3, 4 において最大主応力(引張) σ_1 が許容値(地震時 $\sigma_a = 9.5 \text{ kg/cm}^2$) を超過する(式(5))に示すように 堰軸垂直方向に μ から m にわたって配筋した。

図-7 F.E.M.モデル(部分)



$$\sigma_{1max} (= \sigma_1 \text{ ①}) = 59.6 \text{ t/m}^2 \quad \text{----- 式(5)}$$

$$\therefore \text{単位巾あたりの引張力 } T = \sigma_{1max} \cdot h = 59.6 \times 2.5 = 149.0 \text{ t/m}$$

$$\therefore \text{必要鉄筋量 } A_s = T / \sigma_{ca} = 149.0 \times 10^3 / 2700 = 55.2 \text{ cm}^2/\text{m} < A_s = D19 \text{ cf c100} \left(\frac{\text{上面}}{\text{下面}} \right) = 57.0 \text{ cm}^2/\text{m}$$

4. おまけ

表-3 F.E.M.による計算結果(部分)

傾斜岩盤上における複合基礎の安定に関して以上の検討によりその安全性を高めることができた。しかし静的設計においても水平滑動の効果を地震時長値

単位: T/M^2

要素	A	B	C	σ_x	σ_y	τ_{xy}	σ_1	σ_2	τ_{max}	θ_x (度)
1	1	7	2	41.1	-65.5	2.6	41.1	-65.5	53.3	-1.4
2	2	8	3	55.4	-22.1	-18.4	59.6	-26.3	42.9	192.7
3	3	9	4	44.8	-37.0	-33.3	56.6	-48.9	52.7	199.6

の取扱いは必ずしも決定しない事項もある。近年地中構造物の動的解析の研究がされつつあり、このほかで地盤と構造物の動的相互作用や砂地盤の「巾り込み死下」の現象が報告されている。ここに示した地震状況では地盤変位が鉛直方向のみならず、水平方向にも発生するこゝが予想される。

このように くい基礎構造物の耐震性に関して不確定要素が少なくなく、加えて複合基礎では盤岩の变形特性や くい基礎と直接基礎との荷重分担も明確とはいえない。今后、複合基礎の解析の手法が確立され、実物載荷試験や模型実験等により構造物の安全性の検証がなされるこゝが望まれる。最後にこの検討にあたり適切な指導をいただいた建設省土木研究所基礎研究室の皆様に、この紙上をお借りして感謝の意を表します。

参考文献

- 1) 伊藤学(訳); 構造力学における置法, 技報堂
- 2) 日本直路協会; 直路橋指針, フーチング基礎の設計篇
- 3) 日本直路協会; 直路橋指針, 直接基礎の設計篇
- 4) 高直路調査会; 基礎構造に関する調査研究, 昭和47年度・報告書